

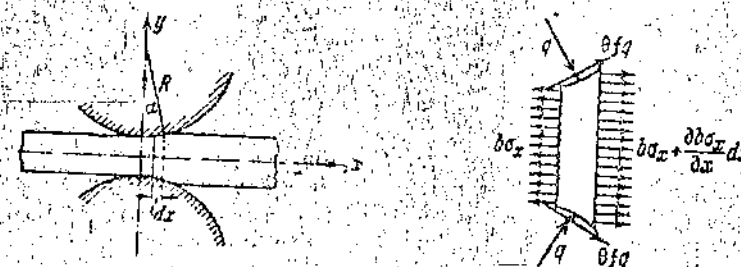
ПРОКАТКА И ВОЛОЧЕНИЕ ПРИ БОЛЬШИХ СКОРОСТЯХ ДЕФОРМИРОВАНИЯ

А. Ю. ИЛЬИНСКИЙ

(Москва).

При распределении напряжений, возникающих при прокатке и при волочении материала, обычно принято считать, что пластические деформации материала подчиняются закону Треска-Сен-Венана, согласно которому максимальное касательное напряжение в каждой точке материала постоянно и не зависит от скорости деформирования. Так, например, поступил Карман [1], решая задачу о прокатке.

А. Ильинский [2], решая задачу о волочении через коническое очко без трения, принял, что максимальное касательное напряжение зависит линейно от скорости деформирования. Ряд соображений об игре сил при прокатке дал Надай. Здесь приводится схема приближенного расчета усилий при прокатке и волочении материала с учетом



Фиг. 1

Фиг. 2

трения о внешние стенки и с учетом влияния на напряженное состояние скоростей деформирования.

Как будет показано, задача при некоторых упрощающих предположениях сводится к интегрированию одного (в случае волочения) или двух (в случае прокатки) обыкновенных линейных дифференциальных уравнений первого порядка:

1. При рассмотрении задачи о прокатке составим уравнения движения элемента (фиг. 1, 2) прокатываемой полосы между двумя сечениями x и $x + dx$. Если обозначить среднее нормальное напряжение, растягивающее или сжимающее полосу, через σ_x , а удельное давление через q , то получим уравнение

$$\rho b \ddot{w}_x = \frac{d}{dx} (\sigma_x b) + q \sin \alpha + q f q \cos \alpha \quad (1.1)$$

где ρ —плотность материала, \ddot{w}_x —среднее ускорение элемента, b —толщина полосы, f —коэффициент трения материала полосы о вальцы¹, q —число, равное +1, если скорость элемента больше окружной скорости вальцов, и равное -1, если имеет место обратное соотношение.

Для большинства случаев инерционным членом $\rho \ddot{w}_x$ можно пренебречь. Кроме того, с достаточным приближением можно считать

$$\sin \alpha \approx \frac{x}{R}, \quad \cos \alpha \approx 1 \quad (1.2)$$

где x —расстояние сечения от прямой, проходящей через центры вальцов, и R —их радиус.

¹ Помимо рабочей троции Кулона могут быть приняты и другие. См. Надай [2].

Для толщины полосы можно принять следующую зависимость от x :

$$b(x) = b_0 + \frac{x^2}{R} \quad (1.3)$$

где b_0 — ширина полосы после ее обкатки валками.

Так как упругим эффектом полосы можно полностью пренебречь, то обкатка происходит в сечении $x = 0$ и, следовательно,

$$b_0 = l + 2R \quad (1.4)$$

где l — расстояние между центрами валцов.

Если до прокатки толщина полосы была b_1 , то из соотношения

$$b_1 = b_0 + \frac{a^2}{R} \quad (1.5)$$

легко найти длину a — длины полосы, которая подвергается обкатке.

Следует Карману, примем напряжение σ_x и $-q$ приближенно равным главным нормальным напряжениям полосы. Тогда максимальное пластичное напряжение для каждого сечения будет равно:

$$\tau_{\max} = \frac{1}{2} (\sigma_x + q) \quad (1.6)$$

Будем считать, что это напряжение линейно зависит от скорости деформации сдвига, т. е.

$$\tau_{\max} = K + \mu \gamma \quad (1.7)$$

где K — пластическая постоянная, μ — коэффициент вязкости и γ — скорость деформации сдвига. Последнюю можно подсчитать из следующих соображений: пусть v_x — средняя скорость точек сечений x в направлении оси x ; если Q — объем материала, прокатываемого в единицу времени, на единицу ширину полосы, и полоса при прокатке не уширяется, то

$$v_x = -\frac{Q}{b(a)} \quad (1.8)$$

то в точках полосы имеют направление отрицательных $\dot{\gamma}$.

Таким образом очевидно, что для избрания деформированного решения в направлении осей x и y при установившемся процессе прокатки имеем

$$\epsilon_x = \frac{dv_x}{dx} = \frac{Q}{b^3} \frac{db}{dx}, \quad \epsilon_y = -\epsilon_x = -\frac{Q}{b^2} \frac{db}{dx}$$

Примем, как было сделано выше для напряженного состояния, оси x и y за главные оси деформации, получим для максимальной скорости сдвига в каждом сечении выражение

$$\gamma = \frac{1}{2} (\epsilon_x - \epsilon_y) = \frac{Q}{b^2} \frac{db}{dx} \quad (1.9)$$

Приравнивая (1.6) и (1.7) с помощью (1.9), найдем

$$q = -\sigma_x + 2 \left(K + \mu \frac{Q}{b^2} \frac{db}{dx} \right) \quad (1.10)$$

Полиномия, стоящие в скобках в правой части этого равенства, есть известная функция γ , если, конечно, на основании соответствующих поставленных экспериментом пластических постоянных K и коэффициентов вязкости μ определены для данного материала и для данной температуры, при которой совершаются прокатка.

Если желательно учесть инерционные члены при решении задачи о прокатке, то ускорение элемента может быть определено на основании известных сопоставлений гидродинамики по формуле

$$m_x = v_x \frac{dv_x}{dx} = -\frac{Q^2}{b^3} \frac{db}{dx} \quad (1.11)$$

Подставляя выражение σ_x и q в уравнение движения, имеем

$$-\frac{Q^2}{b^3} \frac{db}{dx} = \frac{d}{dx} x(\sigma_x b) + \left(\frac{x}{R} + \theta f \right) \left[-\dot{\sigma}_x + 2 \left(K + \mu \frac{Q}{b^2} \frac{db}{dx} \right) \right] \quad (1.12)$$

Болт функцию

$$P = \sigma_x b$$

(1.13)

которая означает силу, с которой растягивается полоса в данном сечении, получим для этой функции дифференциальное уравнение

$$\frac{dP}{dx} = \varphi(x, 0) P + \psi(x, 0) \quad (1.14)$$

где

$$\varphi(x) = \frac{x + \theta/R}{Rb(x)}, \quad \psi(x) = -\frac{Q^2}{R^3} \frac{db}{dx} - 2 \left(\frac{x}{R} + \theta_f \right) \left(K + \mu \frac{Q}{b^2} \frac{db}{dx} \right) \quad (1.15)$$

Скорость точек сечения $x = 0$ больше окружной скорости вальцов ωR , где ω — угловая скорость вальцов. Поэтому сила трения имеет направление положительной оси x и следует на участке, примыкающем к этому сечению, положить $\theta = +1$. Точки другого крайнего сечения $x = a$ имеют скорость большую ωR , и, следовательно, на участке, примыкающем к сечению $x = a$, трение направлено в сторону отрицательной оси x («затаски» полосы); на этом участке наложим положить $\theta = -1$.

Некоторое среднее сечение $x = c$ ($0 < c < a$), имеющее скорость, равную окружной скорости вальцов, служит раздлом рассмотренных двух участков полосы.

Обозначим через P_0 и P_a усилия, приложенные по краям (фиг. 3) полосы, которые могут иметь место при различных системах прокатных станов (при прокатке без дополнительных сил следует положить P_0 и P_a равными нулю). Тогда для определения функции $P(x)$ внутри интервала $0 < x < a$ следует проинтегрировать уравнение (14) на участке $x \geq 0$, полагая $\theta = +1$ при условии $P(0) = P_0$ и полагая $\theta = -1$ на участке $x < a$ при условии $P(a) = P_a$.

Если прокатка при заданных силах P_0 и P_a возможна, то полученные кривые $P_1(x)$ и $P_2(x)$ пересекутся в некоторой точке с абсциссой $x = c$. Эта точка является, очевидно, границей обоих участков. Найдя ее, уже нетрудно определить из соотношения

$$\omega R = \frac{Q}{b(c)} \quad (1.16)$$

необходимую скорость вращения вальцов для получения заданной производительности стана. Для расчёта мощности, расходуемой станом, нужно подсчитать удельное давление q по границе контакта вальцов с полосой. Для этого следует воспользоваться формулой (1.10), где нужно положить $\sigma_x = P/b$. Зная q как функцию x , по формуле

$$T = f \int_0^a q(x) dx - f \int_0^c q(x) dx \quad (1.17)$$

определенное окружное усилие на вальцах.

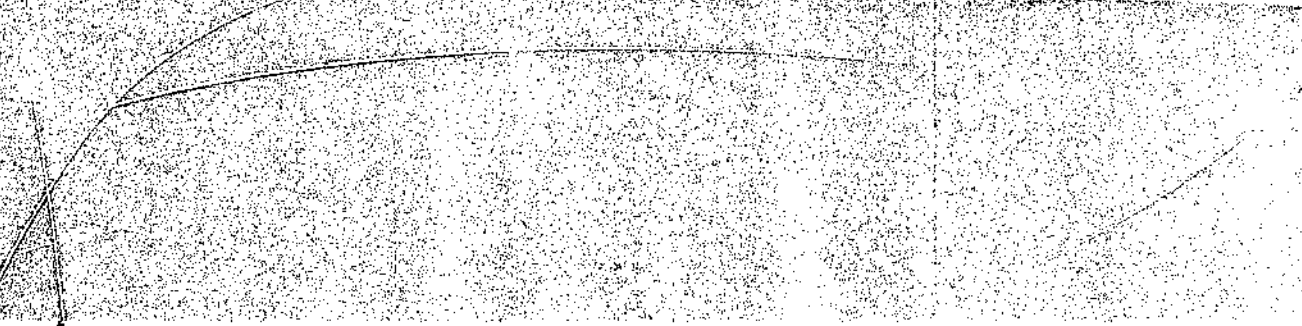
После этого мощность, расходуемая на прокатку, может быть вычислена по соотношению

$$\omega = h \left(\omega R T + P_0 \frac{Q}{b_0} - P_a \frac{Q}{b_1} \right) + \omega_0 \quad (1.18)$$

где h — ширина полосы и ω_0 — мощность, расходуемая на преодоление трения в самом агрегате.

Для подсчета трения, а также для расчета вальцов на прочность (и на усталость) следует выполнить полную силу давления вальца на полосу, т. е. интеграл от функции $q(x)$ в пределах от 0 до a . Решение уравнений (1.14) и интегралы, встречающиеся в вышеизложенных формулах, могут быть вычислены одним из приближенных способов интегратур.

2. Задача о волочении требует примерно той же схемы расчета, как и задача о прокатке. Напишем прежде всего уравнения движения элемента материала, подвергнувшегося волочению (фиг. 4). Если через σ_x обозначить среднее значение растягивающего напряжения по сечению материала, нормальному к оси симметрии, и через



q — удельное давление на границу материала по поверхности очка, то уравнение представляется в виде

$$\rho F \dot{v}_z = \frac{d}{dz} (\sigma_z F) + q \sin \alpha + f g \cos \alpha \quad (2.1)$$

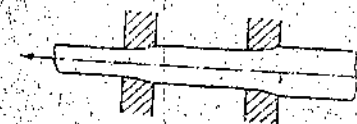
где F — площадь поперечного сечения материала, ρ — его плотность, α — угол наклона касательной к образующей поверхности очка с осью z , f — коэффициент кулонова трения материала о стекки. Если трение не подчиняется закону Кулона, то последний член правой части уравнения должен быть соответственно изменен.

Пусть Q — объем материала, проходящий через очко в единицу времени. Тогда средняя скорость движения частиц, расположенных по какому-либо сечению, выразится формулой:

$$\dot{v}_z = - \frac{Q}{F} \quad (2.2)$$

так как согласно принятому на фиг. 4 направлению оси z движению материала проходит в направлении фронтальной оси z . При стационарном процессе волочения получим для ускорения выражение

$$\ddot{v}_z = v_z \frac{dv_z}{dz} = \frac{Q^2}{F^2} \frac{dF}{dz} \quad (2.3)$$



Фиг. 5

Зная очертания очка, нетрудно построить функции $\alpha = \alpha(z)$, $F = F(z)$ и $dF/dz = F'(z) = 2\pi r \operatorname{tg} \alpha$,

где r — радиус сечения материала, находящегося на расстоянии z от левого края очка.

Будем считать, что в первом приближении аналогично задаче о прокатке $q = -\sigma_n$, где σ_n — нормальное напряжение на площадках, нормали к которым проходят через ось z .

Примем, кроме того, деформированное и напряженное состояния по соотношению материала однородными. Гипотезы наприложения и гипотеза деформации при этом предполагают равенство

$$\sigma_1 = \sigma_{\alpha}, \quad \sigma_{\theta} = \sigma_{\beta} = \sigma_{\gamma}, \quad \epsilon_1 = \epsilon_{\alpha} = \frac{d\alpha}{dz} = \frac{dP}{F^2 dz}, \quad \epsilon_{\theta} = \epsilon_{\beta} = \epsilon_{\gamma} \quad (2.4)$$

Для пространственного очка материала примем уравнения пространственного деформирования вязкоупругой среды, полученные нами ранее [4]. Так как по направлению оси z проходит растяжение и, кроме того, деформация ϵ_z является наибольшей из всех трех главных деформаций $\epsilon_1, \epsilon_2, \epsilon_3$, то уравнения деформирования примут вид

$$\epsilon_1 = \frac{4}{3} K + \mu \epsilon_z, \quad \epsilon_2 = -\frac{2}{3} K + \mu \epsilon_z, \quad \epsilon_3 = -\frac{2}{3} K + \mu \epsilon_z \quad (2.5)$$

Откуда

$$\epsilon_1 - \epsilon_3 = \epsilon_2 = \sigma_n = 2K + \mu(\epsilon_1 - \epsilon_3) = 2K + \frac{3}{2}\mu \frac{Q}{F^2} \frac{dF}{dz} \quad (2.6)$$

Следовательно,

$$\sigma_n = \frac{3\mu Q}{2F^2} \frac{dF}{dz}(z) \quad (2.7)$$

Подставив значение q в уравнение движения элемента и введя обозначение

$$P = \sigma_n F \quad (2.8)$$

придем к уравнению

$$\frac{dP}{dz} + \varphi(z) P = \psi(z)$$

где

$$\varphi(z) = -\frac{\sin \alpha + f \cos \alpha}{F}, \quad \psi(z) = -(\sin \alpha + f \cos \alpha) \left[2K + \frac{3\mu Q}{2F^2} F'(z) \right] - \frac{3\mu Q}{2F^2} \frac{dF}{dz}$$

предполагая известными. Начальным условием при волочении обычно следует считать

$$P = 0 \quad \text{при} \quad z = a$$

Фиг. 5—координата правого края очка. В результате решения уравнений найдем усилие, развиваемое в материале с любой стороны очка. При волочении последовательно через два очка (фиг. 5) начальное условие для первого очка будет тем же, а для второго—растягивающее усилие в материале с правой стороны очка уже не будет равно нулю и определяется решением задачи для первого очка.

Поступила в редакцию 7 IV 1941.

HIGH SPEED ROLLING AND DRAWING OF MATERIAL

A. J. ISHILINSKY

(Summary)

The article contains the schematic calculation of stresses developed due to rolling and drawing of material. The influence of the velocity of deformation on the stressed state of the material and the external friction are taken into consideration.

The author employs the simplifying assumption that the stressed and deformed states of material over the cross-section perpendicular to the direction of movement are homogeneous.

ЛИТЕРАТУРА

1. Karmann, Zeitschrift f. angew. Mat. u. Mech. 1925, Vol. 5.
2. Нильюш и А. А. Труды конференции по пластической деформации. М. 1936.
3. Nadai, Journal of Applied Mechanik, 1939, T. 6, № 2.
4. Ишлинский А. Ю. Уравнения пространственного коформирования по вполне упругим телам. Печ. и Уч. записках. МГУ.